

PROVA 2 - PROCESSAMENTO DE SINAIS BIOLÓGICOS

Davi de Alencar Mendes (dmendes@aluno.unb.br) - 16/0026415

Engenharia Eletrônica, UnB-FGA, Brasília, Brasil

1. QUESTÃO 1 - COMPACTAÇÃO DE ENERGIA EM TRANSFORMADAS WAVELET 2D

A - Decomposição separável em 3,4 e 5 níveis

Para a decomposição foram escolhidos os filtros: *db3*, *sym4* e *bior3.1*. Cada um destes apresenta propriedades diferentes em especial quanto a fase e é notório também o uso de wavelets do tipo biortogonal em aplicações de compressão de imagens com transformadas.

A eficácia de uma transformada depende da compactação de energia provida. Uma maneira de mensurar a compactação de energia é mostrada em [1], trata-se de uma medida para uma transformada ortonormal por meio da divisão entre a média aritmética da variância dos coeficientes pela sua média geométrica. Essa razão é conhecida como *Transform Coding Gain* - G_{TC} :

Inicialmente, acredito que a imagem 1 possa ser melhor representada já que qualitativamente apresenta contornos menos complexos que a imagem 2. Entretanto, a análise do G_{TC} revela que há maior ganho para a imagem 2.

$$G_{TC} = \frac{\frac{1}{N} \sum_{i=0}^{N-1} \sigma_i^2}{(\prod_{i=0}^{N-1} \sigma_i)^{1/N}} \quad (1)$$

As figuras a seguir mostram as decomposições obtidas para a imagem 1 (corte com olhos) e imagem 2 (corte cerebral).

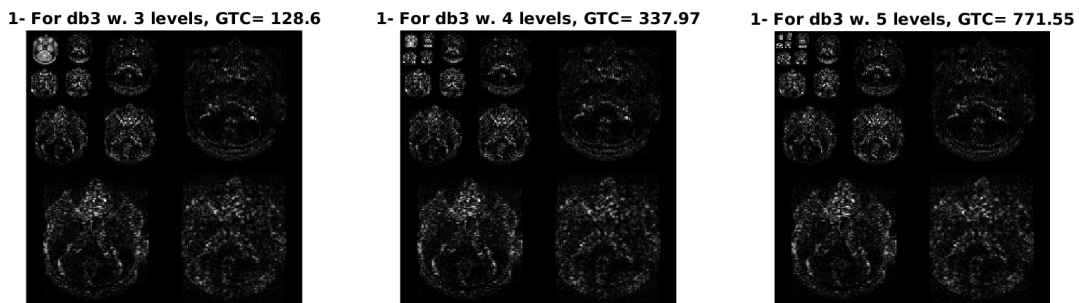


Fig. 1. Decomposição usando db3 para a imagem 1

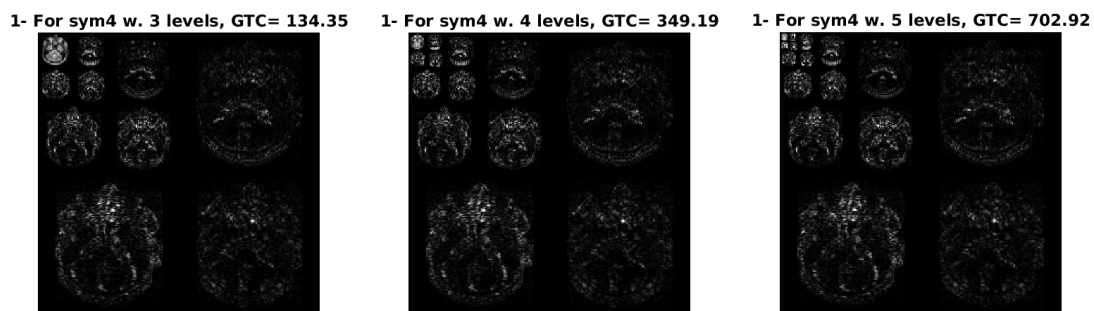


Fig. 2. Decomposição usando sym4 para a imagem 1

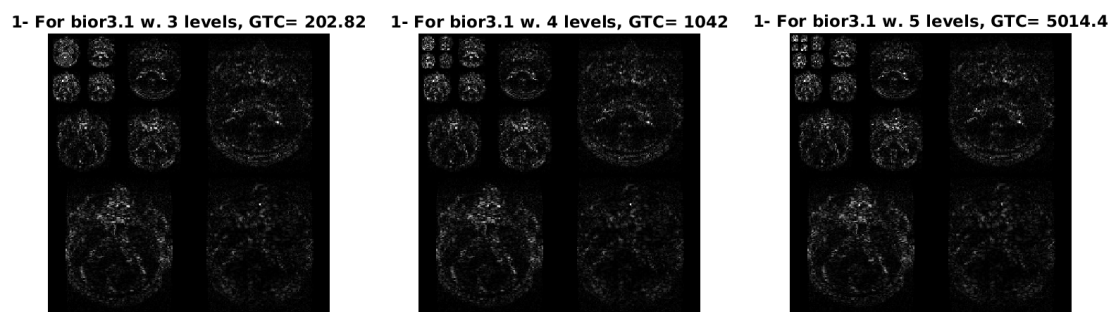


Fig. 3. Decomposição usando bior3.1 para a imagem 1

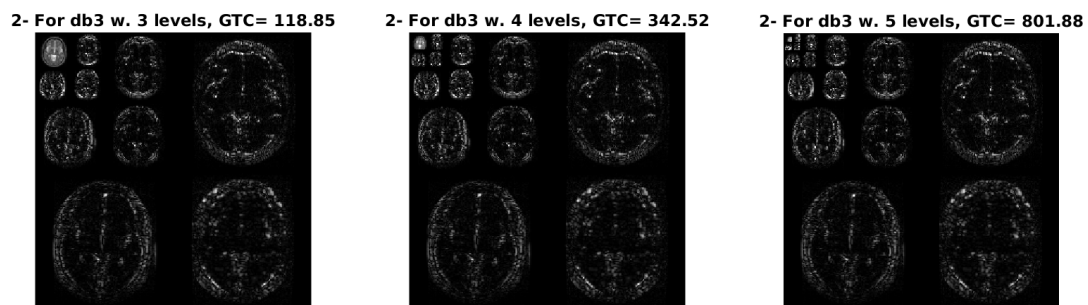


Fig. 4. Decomposição usando db3 para a imagem 2

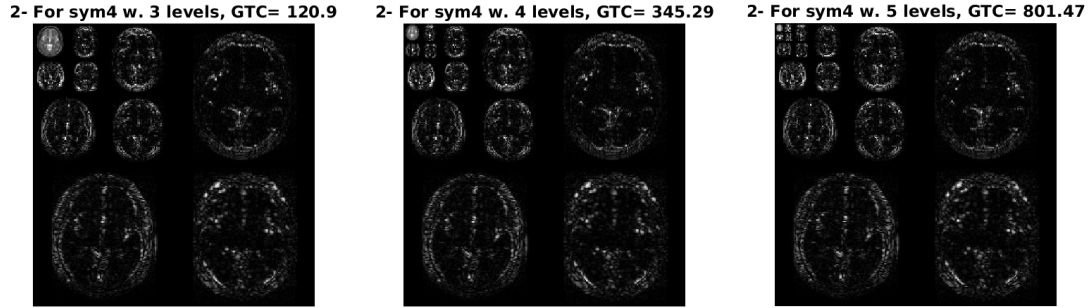


Fig. 5. Decomposição usando sym4 para a imagem 2

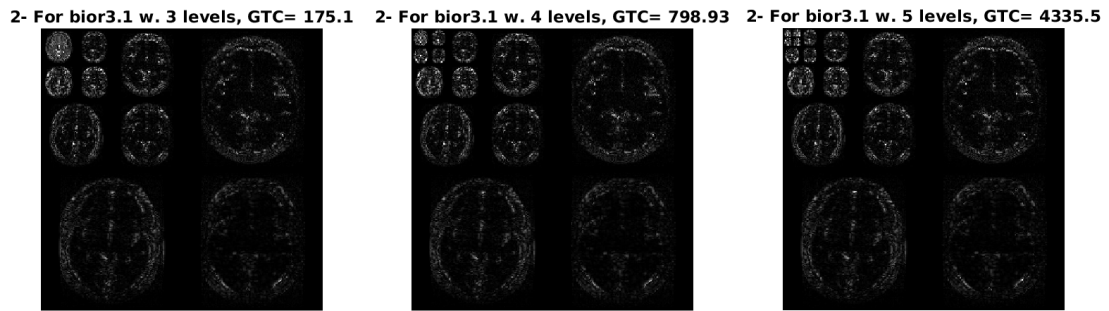


Fig. 6. Decomposição usando bior3.1 para a imagem 2

B - Compressão de Imagens: SNR vs. NM%

Baseado no G_{TC} obtido para as decomposições em diferentes níveis foi considerado que a escolha de 5 níveis seria a melhor. Para a implementação computacional foi utilizada a seguinte rotina implementada em MATLAB:

```

1 %% dwt2dQuantizer: Quantization for NM% coeffs in 2D-DWT
2 function [xq] = dwt2dQuantizer(xdc, NM)
3     xq = cell(1, length(NM));
4     % Obtain decomposition sizes
5     sizes = cellfun(@size, xdc, 'UniformOutput', false);
6     % Stack data into single array
7     xdc = cellfun(@(x) x(:), xdc, 'UniformOutput', false);
8     xdc = vertcat(xdc{:});
9
10    % Sort
11    [xdc_sort, I] = sort(xdc, 'descend', 'ComparisonMethod', 'abs');
12    mpI = 1:length(xdc);
13    mpI = mpI(I); % map indexes according to sorted data
14    NM = round(length(xdc) * (NM/100));
15    for n = 1:length(NM)
16        % Quantize using Nm[%]
17        tmp = zeros(length(xdc),1);
18        tmp(mpI(1:N(n))) = xdc_sort(1:N(n));
19    
```

```

20         % Undo data stacking
21         tmp_cell = cell(1,length(sizes));
22         for k = 1:length(sizes)
23             nelements = prod(sizes{k});
24             tmp_cell{k} = reshape(tmp(1:nelements), sizes{k});
25             tmp(1:nelements) = [];
26         end
27         xq{n} = tmp_cell;
28     end
29 end

```

Já para o procedimento de reconstrução foi implementado outra rotina para o procedimento reverso que encapsula a função de reconstrução do QMF-2D.

```

1 %% dwt2dReconstruction: Provides a simple wrapper to reconstruct multiple images
  using qmf_reconstruction_2
2 function [xr] = dwt2dReconstruction(xdc, waveletf, img_size)
3     [h0, h1, g0, g1] = wfilters(waveletf);
4     xr = zeros(img_size(1), img_size(2), length(xdc));
5     for n = 1:length(xdc)
6         [xr(:,:,n), ~, ~, ~] = qmf_reconstruction_2d(xdc{n}, h0, h1, g0, g1,
7             img_size(1), img_size(2));
8     end
9 end

```

C - Comparativo de Resultados

As imagens 1 e 1 apresentam os resultados para as curvas de Taxa vs. Distorção. Nota-se que com a utilização das diferentes wavelets levou a diferentes resultados de performance. Em especial, para a biortogonal houve um ponto de mudança brusca na qual a adição de coeficientes levou ao melhor desempenho para todas as curvas. Em distorções maiores, a sym4 obteve melhor desempenho porém todas as curvas estão bastante próximas para os pontos considerados.

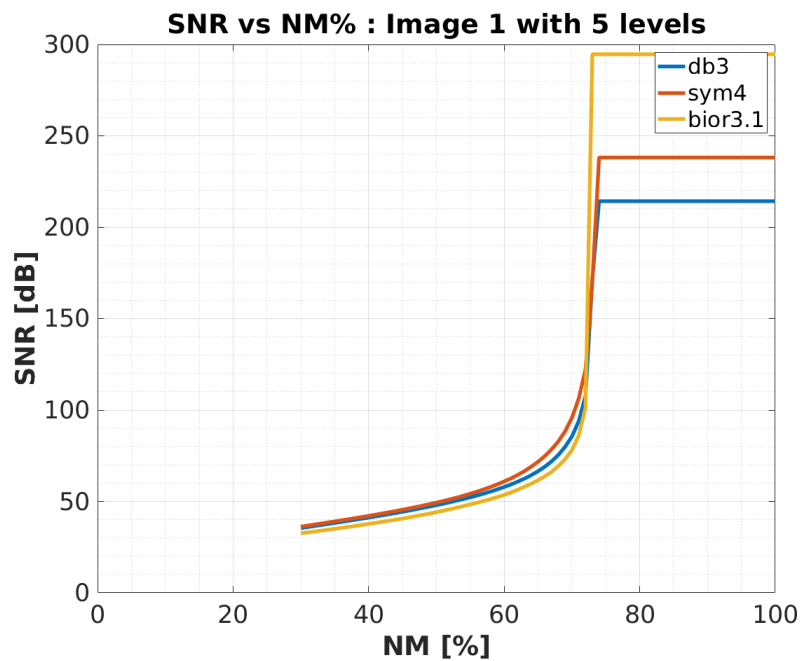


Fig. 7. Curva SNR vs. NM% para a imagem 1

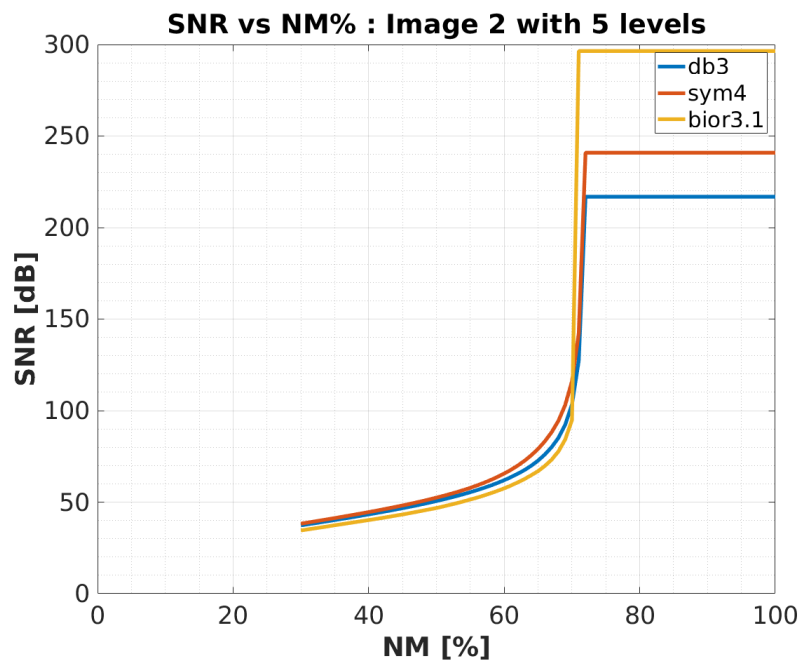


Fig. 8. Curva SNR vs. NM% para a imagem 2

Questão 2 - Detecção & Classificação de Complexos QRS em sinais de ECG

A - Implementação para detecção QRS

Baseado na implementação do algoritmo Pan-Tompkins [2], formulei uma série de simplificações e escolhas que guiaram o desenvolvimento do algoritmo. Inicialmente, realiza-se uma filtragem passa-banda entre 0.5 e 18 Hz com filtro de butterworth (*zero-phase*) para então aplicar o filtro derivativo usado no célebre trabalho original de Pan-Tompkins com 2 amostras de atraso. Posteriormente, a saída do filtro derivativo é elevada ao quadrado para ressaltar conteúdos de alta frequência presentes e é aplicado então uma média-móvel de 85 ms de duração. Com o resultado são detectados picos que estejam com distância mínima de 200 ms entre si já que está é uma condição fisiológica para o sinal considerado e são filtrados picos com valores menores que um limiar relativo a média do sinal integrado. Dessa maneira, é possível localizar bem os pontos R presentes no sinal filtrado sem que ondas acentuadas do tipo T sejam, por vezes, detectadas. Finalmente, realiza-se um refinamento dos picos R usando como referência o sinal original para que as marcações sejam efetivas. Ademais, para os pontos Q e S foram considerados os mínimos locais adjacente ao pico R obtido. Embora simples, a rotina de detecção dos pontos Q e S obteve bons resultados conforme as figuras a seguir.

Em todos os casos exceto o apresentado na figura 10 há resultados condizentes e adequados para as anotações mostradas. No caso em que há erros o sinal apresenta inversões do pico R seguidas de picos agudos os quais foram erroneamente classificados como picos R. Para situação enunciada a marcação dos pontos Q e S também foi errônea.

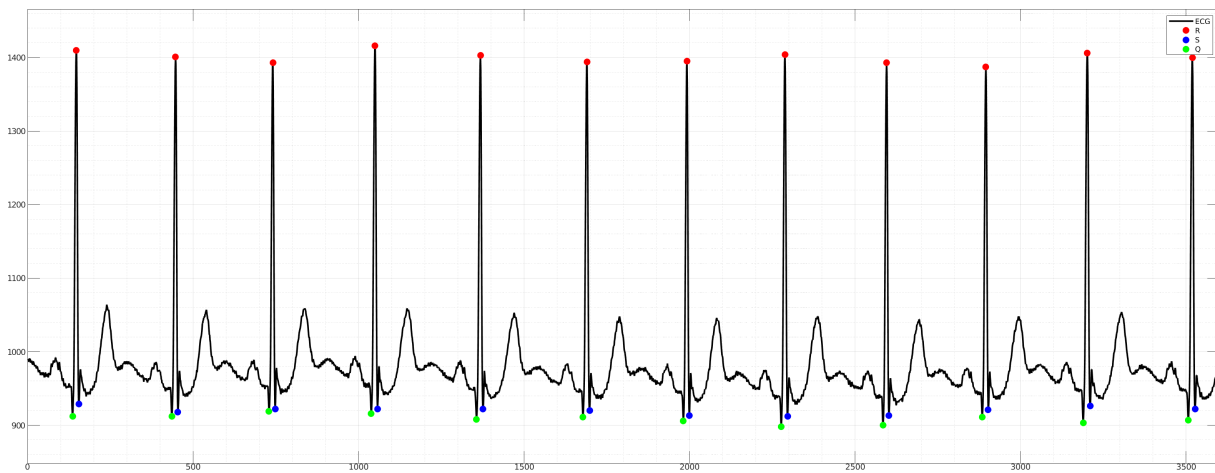


Fig. 9. Anotações obtidas para o sinal 103m6

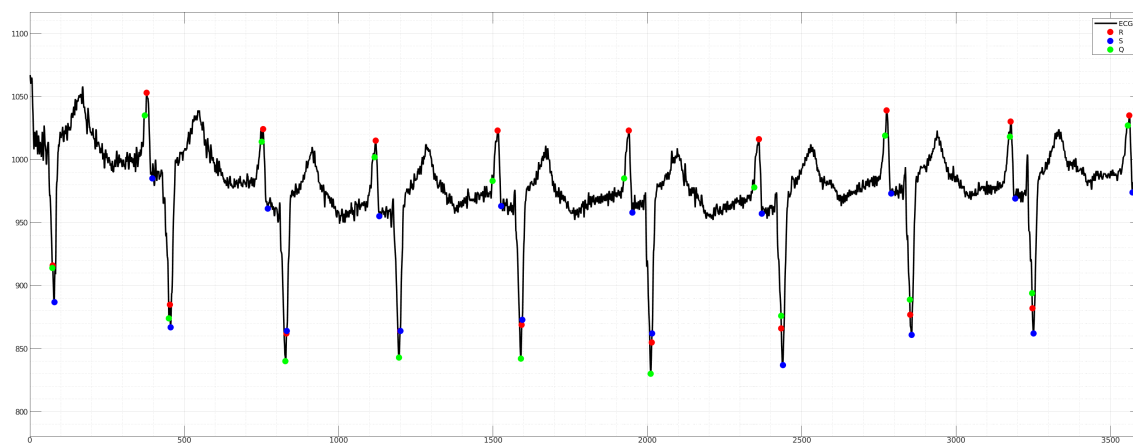


Fig. 10. Anotações obtidas para o sinal 108m3

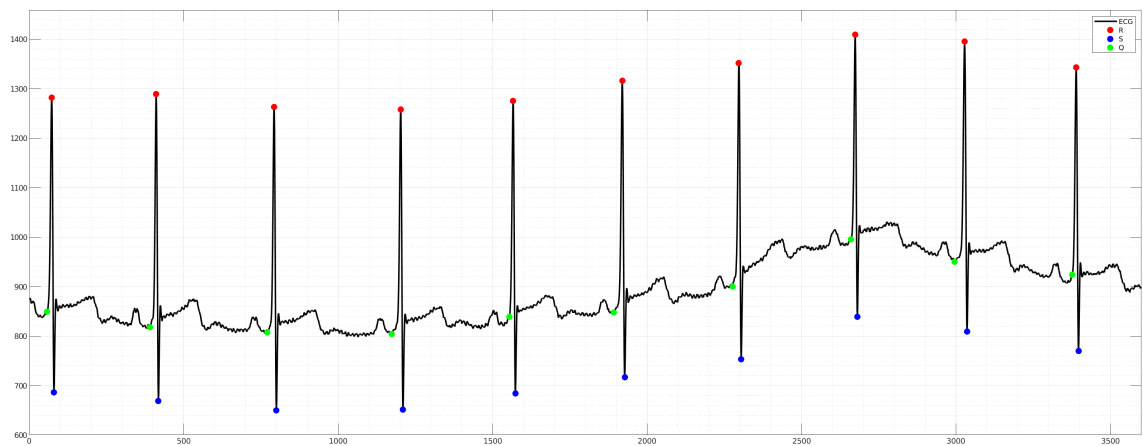


Fig. 11. Anotações obtidas para o sinal 115m6

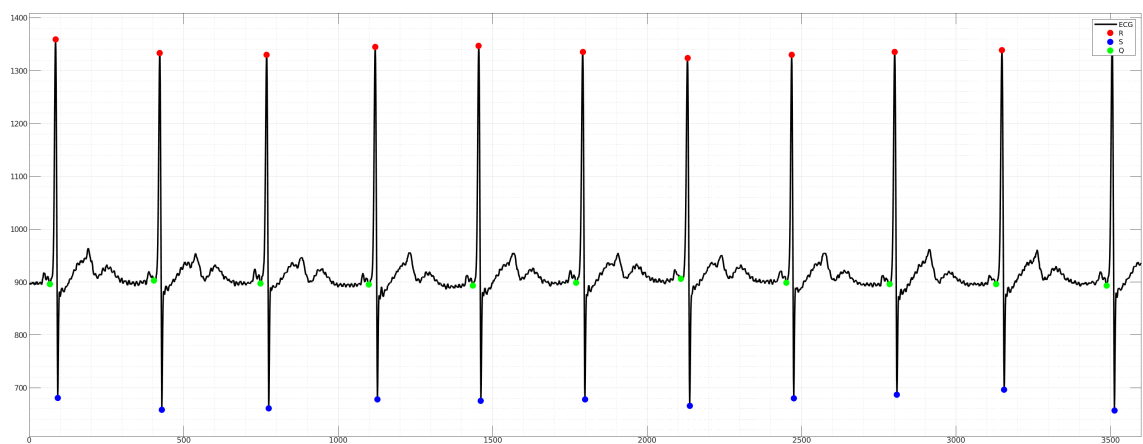


Fig. 12. Anotações obtidas para o sinal 220m3

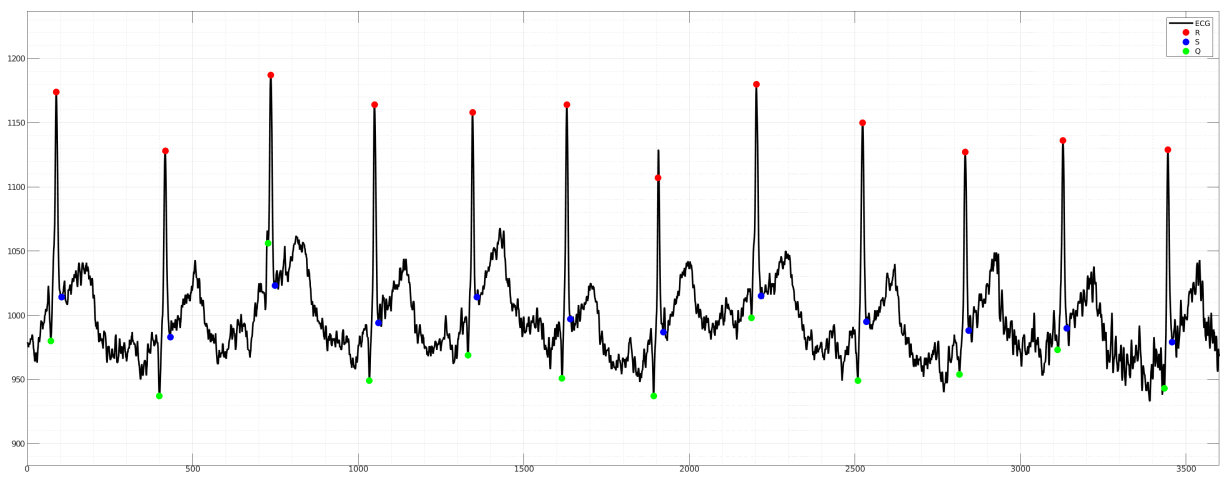


Fig. 13. Anotações obtidas para o sinal 228m1

A implementação segue a seguinte rotina:

```
1 %% rwave_detect: Perform R-wave detection in ECG Signals (filtering, derivative
2   filtering and squaring)
3 function [qrs_i_raw, qrs_amp_raw] = rwave_detect(ecg, fs)
4     qrs_amp_raw = [];
5     qrs_i_raw = [];
6     delay = 0;
7
8     % Bandpass Filtering
9     Wn = [0.5 18]*2/fs; % Cut off (based on fs)
10    N = 3; % Filter Order
11    [a, b] = butter(N, Wn); % Design Butterworth Filter
12    ecg_f = filtfilt(a, b, ecg); % Perform Zero-Phase Filtering
13    ecg_f = ecg_f / max(abs(ecg_f));
14
15    % Derivative Filtering
16    h_d = [-1 -2 0 2 1]*(1/8);
17    ecg_d = conv(ecg_f, h_d); % Perform Derivative Filtering
18    ecg_d = ecg_d / max(ecg_d); % Normalize Values
19    delay = delay + 2; % Delay of filtering is 2 samples.
20
21    % Squaring
22    ecg_s = ecg_d.^2;
23
24    %% Moving average
25    tfrac = 0.085;
26    m_d = ones(1, round(tfrac*fs))/round(tfrac*fs);
27    ecg_m = conv(ecg_s, m_d);
28    delay = delay + round((length(m_d)-1)/2);
29
30    % Find Peaks
31    % MinPeakDistance: no RR wave can occur in 200 msec time distance
32    % MinPeakHeight: Threshold values based on integrated signal mean
33    min_peak_h = 1.5*mean(ecg_m);
34    [~,locs] = findpeaks(ecg_m, 'MINPEAKDISTANCE', round(0.2*fs), 'MinPeakHeight',
35        min_peak_h);
36
37    locs = locs - delay;
38    w = 6;
39    for pt = 1:length(locs)
40        ind = locs(pt)-w/2:locs(pt)+w/2;
41        ecg_cut = ecg(ind);
42        is_inv = mean(ecg_cut) < 0;
43        if is_inv; ecg_cut = -ecg_cut; end
44        R = max(ecg_cut);
45        R_i = find(ecg_cut == R,1);
46        locs(pt) = ind(1)-1+R_i;
47    end
48
49    qrs_amp_raw = ecg(locs);
50    qrs_i_raw = locs;
51
52    % figure('units', 'normalized', 'outerposition', [0 0 1 1]);
53    % plot(ecg_f);
```



```

52         % hold on;
53         % plot(circshift(ecg_m,-delay));
54         % stem(qrs_i_raw, ecg_f(qrs_i_raw), 'r', 'filled', 'LineStyle', 'none');
55         % legend('ECG', 'M', 'R');
56     end

```

Para os pontos Q e S:

```

1  %% qswave_detect: Detect Q and S wave segments based on R location
2  function [q_i, s_i] = qswave_detect(ecg, r_i) %TODO: optimize and refactor try catch
3      s_i = zeros(length(r_i), 1);
4      q_i = zeros(length(r_i), 1);
5      th = 1;
6      %% QS Wave Detect
7      for pt = 1:length(r_i)
8          % S
9          n = 1;
10         try
11             while (ecg(r_i(pt)+n) + th) >= ecg(r_i(pt)+n+1)
12                 n = n + 1;
13             end
14             s_i(pt) = r_i(pt)+n;
15         catch ME
16             switch ME.identifier
17                 case 'MATLAB:badsubscript' % R points near the end
18                     % of the signal could trigger bad subscript (maybe?
19                     idk)
20                     continue;
21                 otherwise
22                     rethrow(ME);
23             end
24         end
25         % R
26         try
27             n = -1;
28             while (ecg(r_i(pt)+n) + th) >= ecg(r_i(pt)+n-1)
29                 n = n - 1;
30             end
31             q_i(pt) = r_i(pt)+n;
32         catch ME
33             switch ME.identifier
34                 case 'MATLAB:badsubscript'
35                     continue;
36                 otherwise
37                     rethrow(ME);
38             end
39         end
40     end
41 end

```

C - Classificação de QRS com SVM

As tentativas iniciais revelaram que a utilização de *kernel* polinomial ou RBF (*Radial Basis Function*) para as condições de teste geravam excessivo *overfitting* no classificador. Com a utilização de um *kernel* linear foram obtidos resultados interessante com a metodologia de treinamento e validação utilizada.

Para a seleção do conjunto de validação são selecionados 30% dos sinais de maneira aleatória para extração dos pontos de interesse. O restante dos sinais é utilizado para treinamento de maneira que entre os conjuntos de validação e treinamento não existam dados em comum. Para aumentar a ocorrência de casos positivos no conjunto de treinamento foi utilizado uma sobreposição de 50% entre as janelas. Como tolerância para o centro da janela foi escolhida uma distância de 40 amostras (11.1 ms). A entrada da SVM recebe janelas de 1 segundo de duração. Ademais, não houve sobreposição de janelas nas condições de validação, algo que gerou poucos casos positivos no conjunto de validação.

Novamente, para reduzir a possibilidade de *overfitting* no modelo foi atribuído um Custo de 8 para falsos negativos e 1 para falsos positivos já que existem bem menos casos positivos que negativos é desejado que, em detrimento de falsos positivos, o classificador não obtenha falsos negativos durante o processo de detecção.

Foram testados cada um dos picos Q, R e S em sessão única de treinamento e validação e os resultados obtidos são mostrados nas figuras a seguir. É válido ressaltar que para todas as métricas mostradas de *FP-Rate* o valor elevado é decorrente do pequeno conjunto de casos positivos já que não foi realizado overlap na validação. Isso é notório pelo fato de que TP-Rate ainda se mantém elevado.

Training		
True Class	1	2
1	93.8	6.202
2	6.931	93.07
		Predicted Class

Fig. 14. Matriz de Confusão para Treinamento da Classificação do Pico R (valores percentuais)

Validation		
True Class	1	2
1	91.61	8.391
2	7.317	92.68
		Predicted Class

Fig. 15. Matriz de Confusão para Validação da Classificação do Pico R (valores percentuais)

```
Validation Results:  
FP Rate is 34.86  
TP Rate is 98.67  
Precision is 91.61  
Accuracy is 91.76  
Recall is 98.67  
F-Measure is 95.01
```

Fig. 16. Métricas para a sessão de Validação do Pico R

```
Validation Results:  
FP Rate is 50.82  
TP Rate is 96.7  
Precision is 87.4  
Accuracy is 86.47  
Recall is 96.7  
F-Measure is 91.81
```

Fig. 17. Métricas para a sessão de Validação do Pico Q

```
Validation Results:  
FP Rate is 47.09  
TP Rate is 97.73  
Precision is 87.89  
Accuracy is 87.76  
Recall is 97.73  
F-Measure is 92.55
```

Fig. 18. Métricas para a sessão de Validação do Pico S

D - Detecção de QRS com SVM

Para a etapa final da detecção utilizei a classificação dos pontos R para a qual foram obtidos melhores resultados. Realizei a marcação em algumas janelas e obtive os valores R selecionando pontos de máximo. Como em alguns sinais há inversão do pico R, houveram marcações errôneas para o procedimento citado. Abaixo, são exibidas as marcações obtidas (vide figura 19).

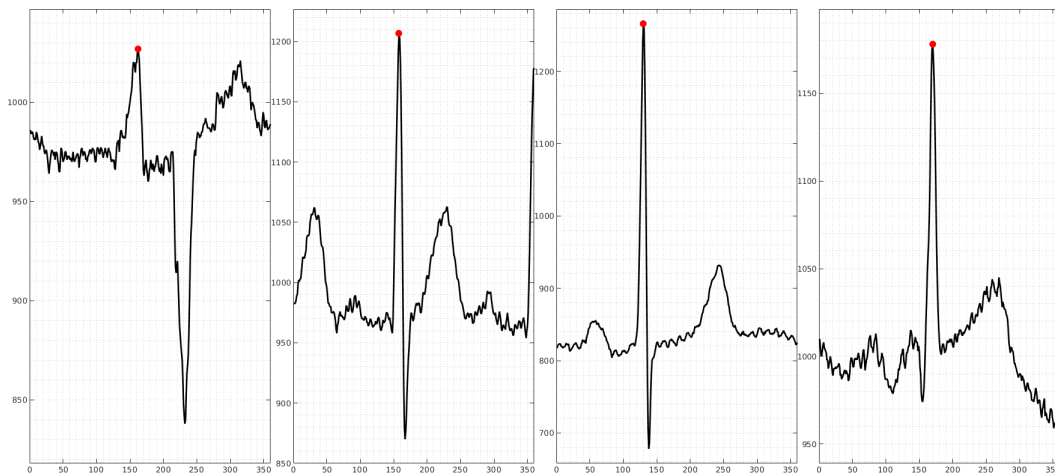


Fig. 19. Marcações para o ponto R em diferentes janelas.

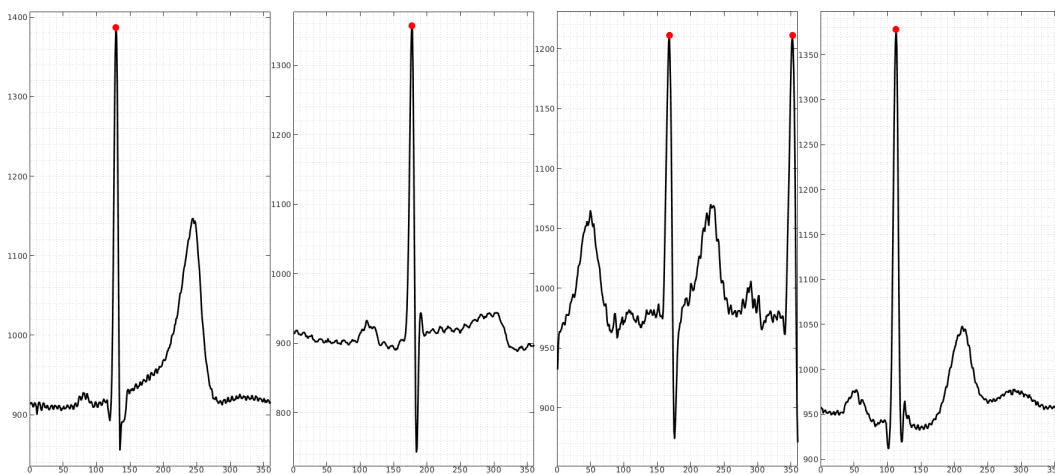


Fig. 20. Marcações para o ponto R em diferentes janelas.

Considerações Finais

Considero que o escopo da matéria foi bastante extenso e me possibilitou sistematizar conteúdos e explorar implementações que não havia feito antes e que foram bastante divertidas em sua grande maioria! Além disso, o conteúdo foi cumprido de maneira excepcional já que foi possível esclarecer todos os tópicos que tive dificuldade com o auxílio das aulas presenciais ou por meio dos trabalhos práticos desenvolvidos na prova 1 e 2. Finalmente, agradeço por toda a ajuda prestada ao longo do semestre e pelas aulas.

Muito Obrigado, **Davi Mendes**.

2. REFERENCES

- [1] N.S. Jayant, P. Noll, Digital Coding of Waveforms, Prentice-Hall, 1984.
- [2] Pan, J., Tompkins, W.J.: A real-time QRS detection algorithm. IEEE Trans. Biomed. Eng. 3, 230–236 (1985)

Anexos

Questão 1 - Implementação completa

```
1 clear all; close all; clc;
2
3 % Add Filterbanks2D to PATH
4 addpath('../filterbanks2d');
5 rehash path;
6
7 % P2 Signals Path
8 joinDataPath = @(file) ['/home/davi/Dropbox/processamento_sinais_biologicos_02_2019/
    sinais_prova_2/' file];
9
10 % Load Images
11 load(joinDataPath('example2.mat'), 'x');
12 levels = 3:1:5;
13 imgs = {x{6}, x{12}};
14 waveletf = {'db3', 'sym4', 'bior3.1'};
15 xd = cell(length(levels), length(imgs), length(waveletf));
16 xdc = cell(length(levels), length(imgs), length(waveletf));
17
18 % A)
19 try % Load saved data to improve runtime execution
20     load('Q1.mat');
21 catch ME
22     for im = 1:length(imgs)
23         for wf = 1:length(waveletf)
24             fig = figure('units', 'normalized', 'outerposition', [0 0 1
25                 1]);
26             for l = 1:length(levels)
27                 [h0, h1, g0, g1] = wfilters(waveletf{wf});
28                 [xd{l,im,wf}, xdc{l,im,wf}, ~] =
29                     qmf_decomposition_2d(imgs{im}, h0, h1, levels(l))
30                     ;
31                 subplot(1,length(levels),1);
32                 imshow(xd{l,im,wf}, []);
33                 gtc = transformCodingGain(xdc{l,im,wf});
34                 im_title = [int2str(im) '- For ' waveletf{wf} ' w. '
35                     int2str(levels(l)) ' levels, GTC= ' num2str(gtc
36                     ,5)];
37                 title(im_title);
38                 disp(im_title);
39             end
40             truesize(fig);
41             % saveas(fig, [int2str(im) '_' waveletf{wf} '.png']);
42         end
43     end
44     save('Q1.mat', 'xd', 'xdc');
45 end
46
47 % B)
48 NM = 30:100;
49 chosen_level = 5;
```

```

45 | ilvl = find(levels == chosen_level);
46 | for im = 1:length(imgs)
47 |     figure('units', 'normalized', 'outerposition', [0 0 1 1]);
48 |     for wf = 1:length(levels)
49 |         im_title = ['SNR vs NM% : Image ' int2str(im) ' with ' int2str(
                    chosen_level) ' levels'];
50 |         [xq] = dwt2dQuantizer(xdc{ilvl,im,wf}, NM);
51 |         xr = dwt2dReconstruction(xq, waveletf{wf}, size(imgs{im}));
52 |         SNR = evaluateSNR(xr, imgs{im});
53 |         plot(NM, SNR, 'LineWidth', 4);
54 |         hold on;
55 |     end
56 |     title(im_title);
57 |     legend(waveletf);
58 |     xlim([0 100]);
59 |     grid on;
60 |     grid minor;
61 |     set(get(gca, 'YLabel'), 'String', 'SNR [dB]');
62 |     set(get(gca, 'XLabel'), 'String', 'NM [%]');
63 |     set(findall(gcf, 'type', 'text'), 'FontSize', 32, 'fontWeight', 'bold');
64 |     set(gca, 'FontSize', 26);
65 | end
66 |
67 | %% evaluateSNR: function description
68 | function [snr_vals] = evaluateSNR(rimg, img)
69 |     snr_vals = zeros(1, size(rimg,3));
70 |     SNR = @(n_data, ref_data) mean( n_data(:).^ 2 ) / mean( (n_data(:) -
                    ref_data(:)).^2 );
71 |     for s = 1:size(rimg,3)
72 |         snr_vals(s) = SNR(rimg(:, :, s), img);
73 |     end
74 |     snr_vals = 10*log10(snr_vals);
75 | end

```

Questão 2 - Implementação completa

```

1 | clear all; close all; clc;
2 |
3 | % Add Functions to PATH
4 | addpath(' ../EXER1-ECG_DEP ');
5 | addpath(' ../utils_P1 ');
6 | addpath(' ../P1 ');
7 | rehash path;
8 |
9 | % ECG Signals
10 | ecg_signals_path = '~/Dropbox/processamento_sinais_biologicos_02_2019/sinais_prova_2
    /ecg/';
11 | signalfield_name = 'val';
12 |
13 | % Load Signals
14 | [ecg_signals, fs, s_name] = loadmat(ecg_signals_path, signalfield_name);
15 | fs = 360;
16 | rand_signal = randi(length(ecg_signals));

```

```

17 % rand_signal = 14;
18 disp(['Using Signal: ' s_name{rand_signal} ' Number: ' int2str(rand_signal)]);
19 ecg = ecg_signals{rand_signal}(:);
20
21 % Perform R-Wave Detection
22 [qrs_i, qrs_amp] = rwave_detect(ecg, fs);
23 [pan_qrs_amp, pan_qrs_i, ~] = pan_tompkin(ecg, fs, 0);
24
25 disp(['Reference QRS Indexes contains ' int2str(length(pan_qrs_i)) ' points.']);
26 disp(['Obtained QRS Indexes contains ' int2str(length(qrs_i)) ' points.']);
27 disp(['--- ' int2str(length(find(qrs_i == pan_qrs_i))) ' points in both sets ---']);
28 disp('Me:');
29 disp(qrs_i);
30 disp('Pan-Tompkins:');
31 disp(pan_qrs_i(:));
32
33 % Use QS wave detect
34 [q_i, s_i] = qswave_detect(ecg, qrs_i);
35
36 figure('units', 'normalized', 'outerposition', [0 0 1 1]);
37 plot(ecg, 'k', 'LineWidth', 2);
38 ylim([min(ecg)-50 max(ecg)+50]);
39 xlim([0 length(ecg)]);
40 grid on;
41 grid minor;
42 hold on;
43 stem(qrs_i, qrs_amp, 'r', 'filled', 'LineStyle', 'none', 'MarkerSize', 8);
44 stem(s_i, ecg(s_i), 'b', 'filled', 'LineStyle', 'none', 'MarkerSize', 8);
45 stem(q_i, ecg(q_i), 'g', 'filled', 'LineStyle', 'none', 'MarkerSize', 8);
46 legend('ECG', 'R', 'S', 'Q');

```

Questão 2 - Implementação com SVM

```

1 clear all; close all; clc;
2
3 % Add Functions to PATH
4 addpath(' ../EXER1-ECG_DEP');
5 addpath(' ../utils_P1');
6 addpath(' ../P1');
7 rehash path;
8
9 % ECG Signals
10 ecg_signals_path = '~/Dropbox/processamento_sinais_biologicos_02_2019/sinais_prova_2
    /ecg/';
11 signalfield_name = 'val';
12
13 % Load Signals
14 [ecg_signals, fs, s_name] = loadmat(ecg_signals_path, signalfield_name);
15 if isempty(fs); fs = 360; end
16 s_len = length(ecg_signals);
17
18 % Extract QRS Indexes
19 q_i = cell(1, s_len);

```



```

20 r_i = cell(1, s_len);
21 s_i = cell(1, s_len);
22 for n = 1:s_len
23     [r_i{n}, ~] = rwave_detect(ecg_signals{n}, fs);
24     [q_i{n}, s_i{n}] = qswave_detect(ecg_signals{n}, r_i{n});
25 end
26
27 % SVM Params
28 alp = 0.7; % Percentage of data to the training stage
29 tol_win = 40; % Tolerance for the QRS position in window
30 win_samples = 1*fs;
31 train_overlap = 80; % Percentage of overlap in training windows
32 train_i = r_i;
33
34 % Extract Features
35 rand_set = randperm(s_len);
36 val_set_index = rand_set(1:round((1-alp)*s_len));
37 train_set_index = setdiff(rand_set, val_set_index);
38 % Training Features
39 [train_features, train_class] = getTrainFeatures(ecg_signals, train_set_index,
    train_i, win_samples, train_overlap, tol_win);
40 % Validation Features (same as train features but with no overlap)
41 [val_features, val_class] = getTrainFeatures(ecg_signals, val_set_index, train_i,
    win_samples, 80, tol_win);
42
43 % Perform Classification
44 svm = fitcsvm(train_features, train_class, 'KernelFunction', 'linear', 'Standardize'
    , true, 'ClassNames', [0,1], 'Cost', [0, 1; 8, 0]);
45 % out_train = predict(svm, train_features);
46 out_val = predict(svm, val_features);
47
48 % Plot Confusion Matrix
49 % confusionChart(confusionmat(train_class, out_train), 'Training');
50 confusionChart(confusionmat(val_class, out_val), 'Validation');
51
52 % Get Session Results
53 disp('Validation Results:');
54 sessionResults(confusionmat(val_class, out_val));
55
56
57
58 %% sessionResults: Obtain ROC Metrics
59 function sessionResults(confusion_matrix)
60     % Metrics
61     fpRate = @(cm) cm(1,2)/sum(cm(:,2));
62     tpRate = @(cm) cm(1,1)/sum(cm(:,1));
63     precision = @(cm) cm(1,1)/sum(cm(1,:));
64     accuracy = @(cm) sum(diag(cm))/sum(cm(:));
65     recall = @(cm) cm(1,1)/sum(cm(:,1));
66     fMeasure = @(cm) 2/( 1/precision(cm) + 1/recall(cm) );
67
68     % Display in console
69     disp(['FP Rate is ' num2str(100*fpRate(confusion_matrix),4)]);
70     disp(['TP Rate is ' num2str(100*tpRate(confusion_matrix),4)]);

```

```

71     disp(['Precision is ' num2str(100*precision(confusion_matrix),4)]);
72     disp(['Accuracy is ' num2str(100*accuracy(confusion_matrix),4)]);
73     disp(['Recall is ' num2str(100*recall(confusion_matrix),4)]);
74     disp(['F-Measure is ' num2str(100*fMeasure(confusion_matrix),4)]);
75     disp(' ');
76 end
77
78 %% confusionChart: Plot Confusion Matrix Chart
79 function [varargout] = confusionChart(C, chart_title)
80     C(1,:) = 100*(C(1,:)/sum(C(1,:)));
81     C(2,:) = 100*(C(2,:)/sum(C(2,:)));
82     figure('units','normalized','outerposition',[0 0 1 1]);
83     h = heatmap(C);
84     h.ColorbarVisible = 'off';
85     colormap white;
86     title(chart_title);
87     h.YLabel = 'True Class';
88     h.XLabel = 'Predicted Class';
89     set(findall(gcf,'type','text'),'FontSize', 32, 'fontWeight', 'bold');
90     set(gca,'FontSize',26);
91     if nargout == 1
92         varargout{1} = h;
93     end
94 end

```